

Peatükk 3

Deformatsioon ja olekuvõrrandid

3.1. Siire ja deformatsioon

3 - 2

3.1 Siire ja deformatsioon

3.1.1 Cauchy seosed

Vaatleme deformeeruva keha meelevaldset punkti A . Algolekus on tema kordinaadid x, y, z . Välisjõudude toimel liigub ta asendisse A' koordinaatidega x', y', z' . Vektorit $\overline{AA'}$ nimetatakse punkti A *siirdeks ehk siirdevektoriks*¹.

Eristame kahte liiki siirdeid:

- keha kui terviku siirded (toimuvad ilma deformatsioonideta) — selliste siiretega tegeleb jäiga keha mehaanika²;
- siirded, mis on seotud keha deformatsiooniga — käesolevas kursuses valedakse just selliseid siirdeid.

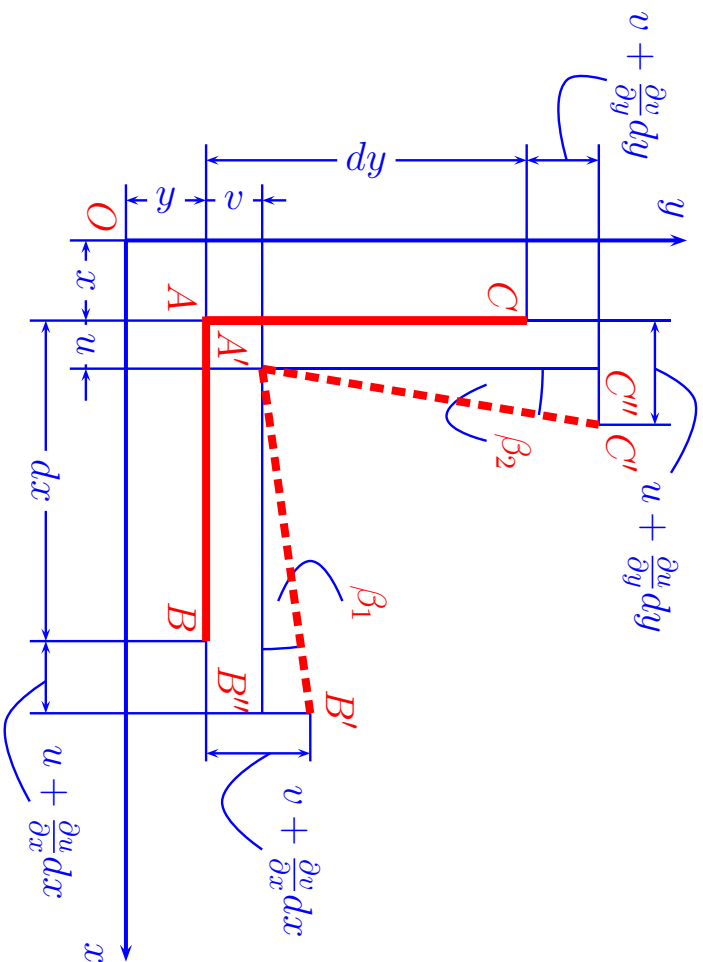
Siirdevektori koordinaattelgede x, y, z sihilisi komponente tähistatakse u, v, w ,

$$\text{st.,} \quad u = x' - x, \quad v = y' - y, \quad w = z' - z. \quad (3.1)$$

Tavaliselt nimetatakse neid lühidalt *siirdekomponendideks*.

¹Siirde sümontüüm (mehaanikas) on paigutis. Füüsikud kasutavad samas tähduses terminit nilje, mis on aga mehaanika seisukohast eksitav.

²Mitmed pideva keskkonna mehaanika õpikud nimetavad selliseid siirdeid *jäigaks deformatsiooniks*.



Joonis 3.1: Normaal- ja nihkedeformatsioon

3.1. Siire ja deformatsioon

Kui keha deformeerub, siis peavad erinevate punktide siirded olema erinevad, st.,

$$u = u(x, y, z), \quad v = v(x, y, z), \quad w = w(x, y, z). \quad (3.2)$$

Vaatleme lõpmata väikese risttahuka kahe serva käitumist x, y tasandil (joon. 3.1). Enne deformatsiooni:

- $AB = dx \parallel x$ ja $AC = dy \parallel y$;
 - Punktide koordinaadid: $A : (x, y)$; $B : (x + dx, y)$; $C : (x, y + dy)$.
- Peale deformatsiooni: $A \rightarrow A'$; $B \rightarrow B'$ ja $C \rightarrow C'$. Vastavad siirded:
- Punkt A : u ja v ;
 - Punkt B : $u + \frac{\partial u}{\partial x} dx$ ja $v + \frac{\partial v}{\partial x} dx$;
 - Punkt C : $u + \frac{\partial u}{\partial y} dy$ ja $v + \frac{\partial v}{\partial y} dy$;

Kuna lineaarses elastsusteoorias on kõik muutused väikesed, siis on välkesed ka servade AB ja AC pöördenurgad, st., $\cos \beta \sim 1$, $\sin \beta \sim \beta$ ja $\tan \beta \sim \beta$.

Seetõttu lõikude AB ja AC suhtelised pikenemised ehk koordinaatide x ja y sihilised *normaaldeformatsioonid*

$$\left\{ \begin{array}{l} \varepsilon_x = \frac{A'B' - AB}{AB} \approx \frac{A'B'' - AB}{AB} = \frac{(dx + u + \frac{\partial u}{\partial x} dx - u) - dx}{dx} = \frac{\frac{\partial u}{\partial x} dx}{dx} = \frac{\partial u}{\partial x}, \\ \varepsilon_y = \frac{A'C' - AC}{AC} \approx \frac{A'C'' - AC}{AC} = \frac{(dy + v + \frac{\partial v}{\partial y} dy - v) - dy}{dy} = \frac{\frac{\partial v}{\partial y} dy}{dy} = \frac{\partial v}{\partial y} \end{array} \right. \quad (3.3)$$

3.1. Siire ja deformatsioon

ja pöörded

$$\left\{ \begin{array}{l} \beta_1 \approx \tan \beta_1 = \frac{B'B''}{A'B''} = \frac{\frac{\partial v}{\partial x} dx}{dx + \frac{\partial u}{\partial x} dx} = \frac{\frac{\partial v}{\partial x} dx}{(1 + \underbrace{\frac{\partial u}{\partial x}}_{=\varepsilon_x \ll 1}) dx} = \frac{\frac{\partial v}{\partial x} dx}{dx} = \frac{\partial v}{\partial x} \\ \beta_2 \approx \tan \beta_2 = \frac{C'C''}{A'C''} = \frac{\frac{\partial u}{\partial y} dy}{dy + \frac{\partial u}{\partial y} dy} = \dots = \frac{\partial u}{\partial y} \end{array} \right. \quad (3.4)$$

Nihe ehk nihkedeformatsioon on defineeritud kui algse täisnurga muutus, st. nihe xy tasandil

$$\gamma_{xy} = \beta_1 + \beta_2 = \frac{\partial u}{\partial y} + \frac{\partial v}{\partial x}. \quad (3.5)$$

Analoogiliselt saab leida normaldeformatsioonid (suhtelised pikenenised) ja nihkedeformatsioonid (ehk nihked) teistel koordinaattasanditel. Kokku saame kuus seost deformatsioonikomponentide $\varepsilon_x, \varepsilon_y, \varepsilon_z, \gamma_{xy}, \gamma_{yz}, \gamma_{xz}$ ja siirdekomponeentide u, v, w vahel:

$$\left\{ \begin{array}{l} \varepsilon_x = \frac{\partial u}{\partial x}, \\ \varepsilon_y = \frac{\partial v}{\partial y}, \\ \varepsilon_z = \frac{\partial w}{\partial z}, \\ \gamma_{xy} = \frac{\partial u}{\partial y} + \frac{\partial v}{\partial x}, \quad \gamma_{yz} = \frac{\partial v}{\partial z} + \frac{\partial w}{\partial y}, \quad \gamma_{xz} = \frac{\partial u}{\partial z} + \frac{\partial w}{\partial x}. \end{array} \right. \quad (3.6)$$

Saadud seoseid nimetatakse tihti *Cauchy võrranditeks* või *Cauchy seosteks*.

Märgireeglid:

- pikinemisele vastav normaaldeformatsioon on positiivne;
- koordinaattelgede positiivsete suundade vahelisele täisnurga vähenemisele vastav nihe on positiivne.

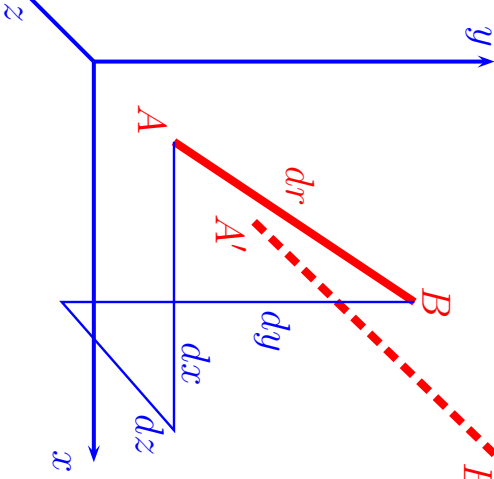
Järeldus: Positiivsed pinged põhjustavad positiivseid deformatsioone.

3.1. Siire ja deformatsioon

3.1.2 Orienteeritud lõigu pikenemine

Vaatleme kahte lõpmata lähedast punkti A ja B , kusjuures vektor $\overline{AB} = d\mathbf{r} = (dx, dy, dz)$. Siinjuures on vektori $d\mathbf{r}$ suunakooosinused

$$l = \frac{dx}{dr}, \quad m = \frac{dy}{dr}, \quad n = \frac{dz}{dr}.$$



Joonis 3.2: Lõigu AB deformatsioon

Vastava joonellemendi AB normaaldeformatsioon (ehk suhteline pikenemine)

$$\varepsilon_r = \frac{A'B' - AB}{AB}. \quad (3.7)$$

Siin

$$\left\{ \begin{array}{l} AB = \sqrt{dx^2 + dy^2 + dz^2} = dr, \\ A'B' = \sqrt{\left(dx + \frac{\partial u}{\partial r} dr \right)^2 + \left(dy + \frac{\partial v}{\partial r} dr \right)^2 + \left(dz + \frac{\partial w}{\partial r} dr \right)^2} = \dots \\ \approx dr \sqrt{1 + 2 \left(l \frac{\partial u}{\partial r} + m \frac{\partial v}{\partial r} + n \frac{\partial w}{\partial r} \right)}. \end{array} \right. \quad (3.8)$$

Kombineerides kahte viimast avaldist ning hinnates liikmete suurusjärke saame †

$$\varepsilon_r = l \frac{\partial u}{\partial r} + m \frac{\partial v}{\partial r} + n \frac{\partial w}{\partial r}. \quad (3.9)$$

Teisendades osatuletised r järgi osatuletisteks koordinaatide x, y, z järgi, saame³ ‡

$$\varepsilon_r = l^2 \varepsilon_x + m^2 \varepsilon_y + n^2 \varepsilon_z + lm \gamma_{xy} + mn \gamma_{yz} + ln \gamma_{xz}. \quad (3.10)$$

³Detailset tuletuskäiku vt. R. Eek, L. Poverus, Ehitusmehaanika II, Tallinn, Valgus, 1967 lk. 279–282.

3.1. Siire ja deformatsioon

*Rakendus tensomeetrias*⁴. Olgu vaja määräta xy tasandi meelevaldses punktis normalaldeformatsioonid (suhtelised pikenedised) ε_x ja ε_y ning nihe γ_{xy} . Kuna antud juhul on $n = 0$, siis saame valemile (3.10) kuju

$$\varepsilon_r = l^2 \varepsilon_x + m^2 \varepsilon_y + lm \gamma_{xy}. \quad (3.11)$$

Kaks lahendust:

1. Vaadeldava punkti ümbrusse asetatakse kolm suvaliselt orienteeritud *tensomeetrit*⁵ (joon. 3.3). Tensomeetrite lugemid esitavad valemi (3.11) vaakut poolt kolme erineva orientatsiooniga lõigu jaoks. Kuna tensomeetrite orientatsioon on teada (s.o. määratud sihkoosinustega l, m, n) saab dakse kolmest lugemist kolm võrrandit otsitavate suuruste ε_x , ε_y ja γ_{xy} määramiseks.
2. Kui orienteerida kaks tensomeetrit telgede x ja y sihis, siis saame deformatsioonid ε_x ja ε_y otse tensomeetrite lugemitest, γ_{xy} aga avaldame võrrandist (3.11)

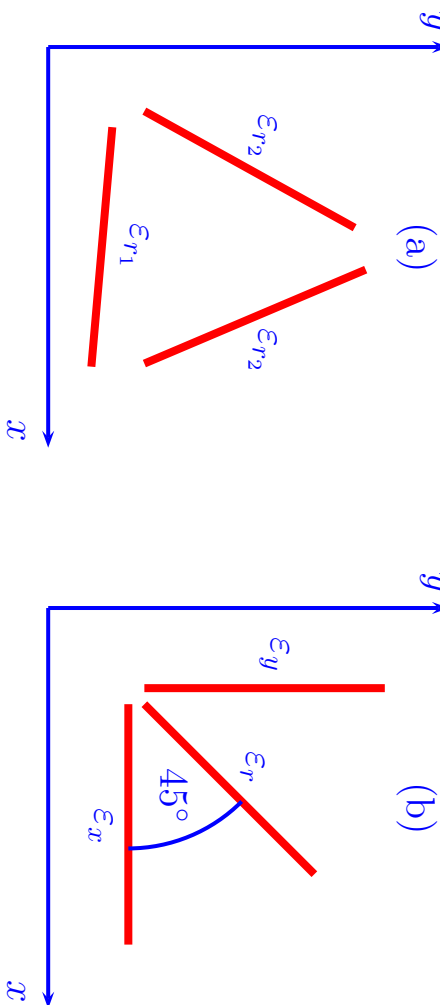
⁴Tensomeetria on kehades (tarindites) koormamisel tekkinud deformatsioonide (ja pingete) katseline määramine.

⁵Tensomeeter on seade deformatsioonide määramiseks. Tänapäeval on enamkasutatav elektriline tensomeeter.

$$\gamma_{xy} = \frac{\varepsilon_r - l^2 \varepsilon_x - m^2 \varepsilon_y}{lm}. \quad (3.12)$$

Üldjuhul on kolmas tensomeeter koordinaattelgede suhtes 45° nurga all.
Seega $l = m = \sqrt{2}/2$ ja

$$\gamma_{xy} = 2\varepsilon_r - \varepsilon_x - \varepsilon_y. \quad (3.13)$$



Joonis 3.3: Tensomeetria näide.

3.2 Deformatsioonitensor

Normal- ja nihkedeformatsioonidest (ehk nihetest) saab moodustada deformatsioonitensori

$$E = \begin{bmatrix} \varepsilon_x & \frac{1}{2}\gamma_{xy} & \frac{1}{2}\gamma_{xz} \\ \frac{1}{2}\gamma_{yx} & \varepsilon_y & \frac{1}{2}\gamma_{yz} \\ \frac{1}{2}\gamma_{zx} & \frac{1}{2}\gamma_{zy} & \varepsilon_z \end{bmatrix}. \quad (3.14)$$

Erinevalt pingetensorist on siin nihete kordajaks 0,5. Ilma selliste kordajateta ei alluks deformatsioonitensor tensorarvutustele reeglitele. Analoogiliselt pingeten-soriga saab leida ka deformatsioonitensori invariandid:

$$\left\{ \begin{array}{l} I_1^\varepsilon = \varepsilon_x + \varepsilon_y + \varepsilon_z, \\ I_2^\varepsilon = \begin{vmatrix} \varepsilon_x & \frac{1}{2}\gamma_{xy} \\ \frac{1}{2}\gamma_{xy} & \varepsilon_y \end{vmatrix} + \begin{vmatrix} \varepsilon_y & \frac{1}{2}\gamma_{yz} \\ \frac{1}{2}\gamma_{yz} & \varepsilon_z \end{vmatrix} + \begin{vmatrix} \varepsilon_x & \frac{1}{2}\gamma_{xz} \\ \frac{1}{2}\gamma_{xz} & \varepsilon_z \end{vmatrix}, \quad I_3^\varepsilon = \begin{vmatrix} \varepsilon_x & \frac{1}{2}\gamma_{yx} & \frac{1}{2}\gamma_{zx} \\ \frac{1}{2}\gamma_{xy} & \varepsilon_y & \frac{1}{2}\gamma_{zy} \\ \frac{1}{2}\gamma_{xz} & \frac{1}{2}\gamma_{yz} & \varepsilon_z \end{vmatrix}. \end{array} \right. \quad (3.15)$$

3.3 Ruumdeformatsioon ehk suhteline mahumutus

Üldjuhul muutub keha ruumala peale deformatsiooni leiane lähtudes eeldusest, et normaaldeformatsioonid ja nihked on väikesed. Pärast mõningaid teisendusi, mille käigus hüljatakse teist ja kolmandat järku väkesed liikmed, saame deformeerunud elementaarristküliku mahuks $dV_1 = dx_1 dy_1 dz_1 = dV(1 + \varepsilon_x + \varepsilon_y + \varepsilon_z)$. *Ruumndeformatioon* ehk *suhoteline mahumutus*⁷ avaldub seega kujul

$$\theta = \frac{dV_1 - dV}{dV} = \varepsilon_x + \varepsilon_y + \varepsilon_z. \quad (3.16)$$

Seega on ruumdeformatsioon võrdne deformatsioonitensori esimese invariantiga.

⁶Mitmetel ainetel on see mahumutus hüljatavalt väike, väiteks vesi või kummi.
T. k. *dilatation, volumetric change*

3.4. Pidevustsingimused

Teisest küljest, arvestades deformatsioonide ε_x , ε_y ja ε_z definitsioone (3.4) on ruumdeformatsioon siirde divergents:

$$\theta = \frac{\partial u}{\partial x} + \frac{\partial v}{\partial y} + \frac{\partial w}{\partial z} = \operatorname{div} \mathbf{u} \equiv \nabla \cdot \mathbf{u}.$$

3.4 Pidevustsingimused

Cauchy võrrandid (3.4) seovad kuus deformatsioonikomponenti $\varepsilon_x, \varepsilon_y, \varepsilon_z, \gamma_{xy}, \gamma_{yz}$ ja γ_{xz} kolme siirdekomponendiga u, v, w järgmisel viisil:

$$\left\{ \begin{array}{l} \varepsilon_x = \frac{\partial u}{\partial x}, \\ \varepsilon_y = \frac{\partial v}{\partial y}, \\ \varepsilon_z = \frac{\partial w}{\partial z}, \\ \gamma_{xy} = \frac{\partial u}{\partial y} + \frac{\partial v}{\partial x}, \quad \gamma_{yz} = \frac{\partial v}{\partial z} + \frac{\partial w}{\partial y}, \quad \gamma_{xz} = \frac{\partial u}{\partial z} + \frac{\partial w}{\partial x}. \end{array} \right.$$

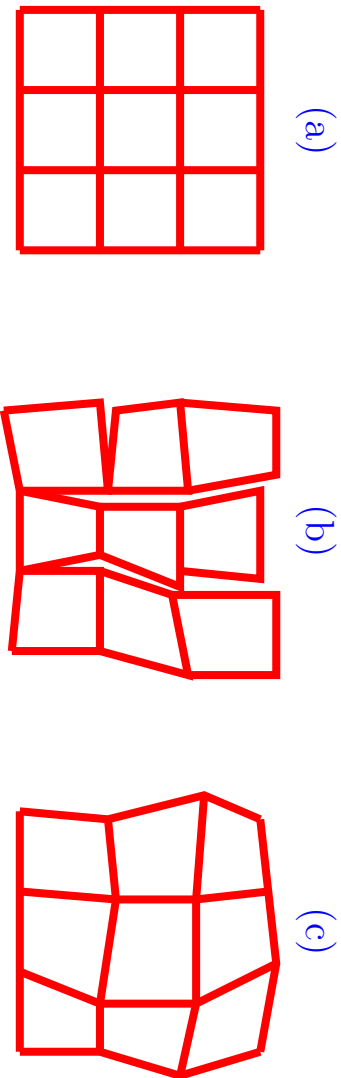
- Kui on antud kolm siirdekomponenti u, v, w , siis võrrandite (3.4) abil on võimalik üheselt määrama kuus deformatsioonikomponenti $\varepsilon_x, \varepsilon_y, \varepsilon_z, \gamma_{xy}, \gamma_{yz}, \gamma_{xz}$.

- Kui on antud kuus deformatsionikomponenti $\varepsilon_x, \varepsilon_y, \varepsilon_z, \gamma_{xy}, \gamma_{yz}, \gamma_{xz}$, siis pole võrrandite (3.4) abil võimalik kolme sirdekomponenti u, v, w üheselt määraa. Ühese lahendi saamiseks tuleb sisse tuua kuut deformatsioonikomponenti siduvad lisatingimused (lisavõrrandid). Neid lisatingimusi nimetatakse eestikeelises kirjanduses tavaliselt *pidenvustingimusteks*⁸.

⁸Ing. k. *compatibility conditions*. Eesti keeles kasutatakse ka termineid pidenvusvõrrandid või sobivustingimused.

3.4. Pidenvustingimused

Alternatiivne põhjendus pidenvustingimuste sissetoomiseks.



Joonis 3.4: Pidenvustingimused

Oletame, et vaadeldav keha on algolekus lõigatud väikesteks kuupideks (joon. 3.4 a). Kui iga kuupi on seejärel eraldi deformeeritud, siis on nende uesti ühendamine selliselt, et tekkiks pidev keha üldjuhul võimatu (joon. 3.4 b). Selleks, et peale deformatsiooni oleks meil endiselt tegu pidava kehaga (joon. 3.4 c), peavad kuupide deformatsioonid rahuldama *pidenvustingimusi* ehk *pidenvõrrandeid*.

Pidevusvõrrandite tuletamine. Diferentseerime võrrandit $(3.4)_1$ kaks korda koordinaadi y järgi ja võrrandit $(3.4)_2$ kaks korda koordinaadi x järgi ning liidame saadud tulemused.

$$\frac{\partial^2 \varepsilon_x}{\partial y^2} + \frac{\partial^2 \varepsilon_y}{\partial x^2} = \frac{\partial^3 u}{\partial x \partial y^2} + \frac{\partial^3 v}{\partial x^2 \partial y} = \frac{\partial^2}{\partial x \partial y} \underbrace{\left(\frac{\partial u}{\partial y} + \frac{\partial v}{\partial x} \right)}_{\gamma_{xy}} = \frac{\partial^2 \gamma_{xy}}{\partial x \partial y}. \quad (3.17)$$

Kombineerides võrandeid $(3.4)_{1-3}$ saame veel kaks analoogilist pidevusvõrrandit.

Neist aga ei piisa. Selleks, et saada veel kolm võrandit, leiate võrandeist $(3.4)_{4-6}$ osatuletised «puuduva koordinaadi» järgi, liidame $(3.4)_{4-5}$ ja lahutame saadud summast $(3.4)_6$. Seejärel võtame saadud tulemusest osatuletise y järgi:

$$\frac{\partial}{\partial y} \left(\frac{\partial \gamma_{xy}}{\partial z} + \frac{\partial \gamma_{yz}}{\partial x} - \frac{\partial \gamma_{xz}}{\partial y} \right) = 2 \frac{\partial^3 v}{\partial x \partial y \partial z} = 2 \frac{\partial^2}{\partial x \partial z} \left(\frac{\partial v}{\partial y} \right) = 2 \frac{\partial^2 \varepsilon_y}{\partial x \partial z}. \quad (3.18)$$

Analoogiliselt saab tuletada veel kaks pidevusvõrrandit.

3.4. Pidevustimigimused

Kokku oleme saanud kuus pidevusvõrrandit (pidevustingimust), mis on tuntud ka *Saint-Venant'i pidevusvõrrandite na*:

$$\left\{ \begin{array}{l} \frac{\partial^2 \varepsilon_x}{\partial y^2} + \frac{\partial^2 \varepsilon_y}{\partial x^2} = \frac{\partial^2 \gamma_{xy}}{\partial x \partial y}, \\ \frac{\partial^2 \varepsilon_y}{\partial z^2} + \frac{\partial^2 \varepsilon_z}{\partial y^2} = \frac{\partial^2 \gamma_{yz}}{\partial y \partial z}, \\ \frac{\partial^2 \varepsilon_z}{\partial x^2} + \frac{\partial^2 \varepsilon_x}{\partial z^2} = \frac{\partial^2 \gamma_{xz}}{\partial z \partial x}, \\ \frac{\partial}{\partial x} \left(\frac{\partial \gamma_{xz}}{\partial y} + \frac{\partial \gamma_{xy}}{\partial z} - \frac{\partial \gamma_{yz}}{\partial x} \right) = 2 \frac{\partial^2 \varepsilon_x}{\partial y \partial z} \\ \frac{\partial}{\partial y} \left(\frac{\partial \gamma_{xy}}{\partial z} + \frac{\partial \gamma_{yz}}{\partial x} - \frac{\partial \gamma_{xz}}{\partial y} \right) = 2 \frac{\partial^2 \varepsilon_y}{\partial x \partial z} \\ \frac{\partial}{\partial z} \left(\frac{\partial \gamma_{yz}}{\partial x} + \frac{\partial \gamma_{xz}}{\partial y} - \frac{\partial \gamma_{xy}}{\partial z} \right) = 2 \frac{\partial^2 \varepsilon_z}{\partial x \partial y} \end{array} \right. \quad (3.19)$$

Saadud kuuel pidenvusvõrrandil ehk pidenvustingimustel on väga selge füüsikaline sisu.

1. Esimesed kolm: kui on antud normaaldeformatsioonid (suhtelised pikene-mised) kolmes ristuvas sihis, siis nende sihtidega määratud tasandites ei saa nihkedeformatsiooni meelevaldselt ette anda, vaid nad on määratud avaldistega $(3.19)_{1-3}$.
2. Viimased kolm: kui on antud nihkedeformatsioonid kolmes ristuvas tasa-pinnas, siis ei saa normaaldeformatsioone meelevaldselt ette anda, vaid nad on määratud avaldistega $(3.19)_{4-6}$

3.5 Olekuvõrrandid

3 - 20

Välisjõudude toimel kehad (keskkonnad) deformeeruvad. On selge, et ühe ja sama välisjõu toimel võivad erinevad materjalid deformeeruda väga erinevalt — järelikult on vaja võrrandeid, mis määraksid kuidas üks või teine materjal koormamisel käitub.

- *Võrrandeid, mis seovad omavahel deformatsioonid ja pinged, nimetatakse olekuvõrranditeks.*

- Lineaarses e. klassikalises elastsusteoorias on olekuvõrrandid esitatud *üldistatud Hooke'i seaduse*, mis esitab lineaarse seose pingega- ja deformatsioonitensori vahel.
- Kui on vaja arvestada ka temperatuuri mõju kehade deformatsioonidele, siis tuuakse sisse termoelastsus tegurid ning lisatakse võranditesse vastavad lisalikmed. Sel juhul öeldakse tihti, et tegu on *termoelastsusteooriaga*.

3.5.1 Üldistatud Hooke'i seadus

Klassikalises (ehk lineaarses) elastsusteoorias (k.a. elementaarteooria) kehtib *üldistatud Hooke'i seadus*: deformatsioonitensori komponendid on lineaarsed funktsioonid pingetensori komponentidest. Koige üldisemal juhul saab vastav seosed esitada järgmisel kujul:

$$\left\{ \begin{array}{l} \varepsilon_x = C_{11}\sigma_x + C_{12}\sigma_y + C_{13}\sigma_z + C_{14}\tau_{xy} + C_{15}\tau_{yz} + C_{16}\tau_{zx} \\ \varepsilon_y = C_{21}\sigma_x + C_{22}\sigma_y + C_{23}\sigma_z + C_{24}\tau_{xy} + C_{25}\tau_{yz} + C_{26}\tau_{zx} \\ \varepsilon_z = C_{31}\sigma_x + C_{32}\sigma_y + C_{33}\sigma_z + C_{34}\tau_{xy} + C_{35}\tau_{yz} + C_{36}\tau_{zx} \\ \gamma_{xy} = C_{41}\sigma_x + C_{42}\sigma_y + C_{43}\sigma_z + C_{44}\tau_{xy} + C_{45}\tau_{yz} + C_{46}\tau_{zx} \\ \gamma_{yz} = C_{51}\sigma_x + C_{52}\sigma_y + C_{53}\sigma_z + C_{54}\tau_{xy} + C_{55}\tau_{yz} + C_{56}\tau_{zx} \\ \gamma_{zx} = C_{61}\sigma_x + C_{62}\sigma_y + C_{63}\sigma_z + C_{64}\tau_{xy} + C_{65}\tau_{yz} + C_{66}\tau_{zx} \end{array} \right. \quad (3.20)$$

Viimased avaldised sisaldavad 36 *elastsuskonstanti* — seda on palju!

Kui eeldada, et keha on ideaalselt elastne (st. peale koormuse kõrvaldamist taastub algne kuju), homogeenne ja isotroopne, siis jäab järele vaid kaks sõltumatut elastsuskonstanti (Youngi moodul E ja Poissoni koefitsent ν), mis on määratavad väga lihtsate eksperimentide abil.

3.5. *Olekuvõrrandid*

- Tõmmme-surve (x -telje sihis).
 - Elastsuskonstant ehk Youngi moodul E : $\varepsilon_x = \sigma_x/E$
 - Poissoni koefitsent (Poissoni tegur) ν : $\varepsilon_y = -\nu\varepsilon_x$
- Nihe (xy tasandis).
 - Nihkeelastsusmoodul G : $\gamma_{xy} = \tau_{xy}/G$, kus

$$G = \frac{E}{2(1+\nu)}. \quad (3.21)$$

Kuna nihkeelastsusmoodul G on avaldatav E ja ν kaudu, siis ei saa teda pidada iseseisvaks elastsuskonstandiks.

Üldistatud Hooke'i seaduse tuletamiseks vaatleme lõpmata väikest isotroopset risttahukat, milles mõjuvad vaid normaalpinged $\sigma_x, \sigma_y, \sigma_z$. Pinge $\sigma_x > 0$ põhjustab pikinemist x -telje sihis ja lühinemist y - ja z -telje sihis. Analoogiliselt toime on normaalpingetel $\sigma_y > 0$ ja $\sigma_z > 0$. Seega on summaarne suhteline piknenmine x -telje sihis elk normaaldeformatsioon

$$\varepsilon_x = \frac{\sigma_x}{E} - \nu \frac{\sigma_y}{E} - \nu \frac{\sigma_z}{E} = \frac{1}{E} [\sigma_x - \nu(\sigma_y + \sigma_z)]. \quad (3.22)$$

Nihkepingete ja nihkedeformatsioonide vahelised seosed on määratud Hooke'i seadusega iga koordinaattasandi jaoks sõltumatult, s.t., τ_{xy} põhjustab vaid nihet γ_{xy} , jne. (vrd. normaaldeformatsioonidega).

Kokku saame kuus võrrandit, mis esitavad *üldistatud Hooke'i seadust* isotroope ideaalselt elastse keha jaoks:

$$\begin{cases} \varepsilon_x = \frac{1}{E} [\sigma_x - \nu(\sigma_y + \sigma_z)], & \gamma_{xy} = \frac{1}{G} \tau_{xy}, \\ \varepsilon_y = \frac{1}{E} [\sigma_y - \nu(\sigma_z + \sigma_x)], & \gamma_{yz} = \frac{1}{G} \tau_{yz}, \\ \varepsilon_z = \frac{1}{E} [\sigma_z - \nu(\sigma_x + \sigma_y)], & \gamma_{zx} = \frac{1}{G} \tau_{zx}. \end{cases} \quad (3.23)$$

3.5. Olekuvõrrandid

Paljudes õpikutes⁹ esitatakse valemitega (3.20) analoogilised pingete ja deformatsioonide vahelised seosed natuke teisel kujul. Esiteks tuuakse sisestähistused

$$\sigma_1 = \sigma_x, \quad \sigma_2 = \sigma_y, \quad \sigma_3 = \sigma_z, \quad \sigma_4 = \tau_{yz}, \quad \sigma_5 = \tau_{xz}, \quad \sigma_6 = \tau_{xy} \quad (3.24)$$

ja

$$\varepsilon_1 = \varepsilon_x, \quad \varepsilon_2 = \varepsilon_y, \quad \varepsilon_3 = \varepsilon_z, \quad \varepsilon_4 = 2\gamma_{yz}, \quad \varepsilon_5 = 2\gamma_{xz}, \quad \varepsilon_6 = 2\gamma_{xy}. \quad (3.25)$$

Seejärel esitatatakse pinge sõltuvana deformatsioonist kujul

$$\begin{bmatrix} \sigma_1 \\ \sigma_2 \\ \sigma_3 \\ \sigma_4 \\ \sigma_5 \\ \sigma_6 \end{bmatrix} = \begin{bmatrix} C_{11} & C_{12} & C_{13} & C_{14} & C_{15} & C_{16} \\ C_{21} & C_{22} & C_{23} & C_{24} & C_{25} & C_{26} \\ C_{31} & C_{32} & C_{33} & C_{34} & C_{35} & C_{36} \\ C_{41} & C_{42} & C_{43} & C_{44} & C_{45} & C_{46} \\ C_{51} & C_{52} & C_{53} & C_{54} & C_{55} & C_{56} \\ C_{61} & C_{62} & C_{63} & C_{64} & C_{65} & C_{66} \end{bmatrix} \cdot \begin{bmatrix} \varepsilon_1 \\ \varepsilon_2 \\ \varepsilon_3 \\ \varepsilon_4 \\ \varepsilon_5 \\ \varepsilon_6 \end{bmatrix} \quad (3.26)$$

⁹Vt. näiteks J. N. Reddy, Theory and Analysis of Elastic Plates, Philadelphia, Taylor & Francis, 1999

ja deformatsioon sõltuvana pingest kujul

$$\begin{bmatrix} \varepsilon_1 \\ \varepsilon_2 \\ \varepsilon_3 \\ \varepsilon_4 \\ \varepsilon_5 \\ \varepsilon_6 \end{bmatrix} = \begin{bmatrix} S_{11} & S_{12} & S_{13} & S_{14} & S_{15} & S_{16} \\ S_{21} & S_{22} & S_{23} & S_{24} & S_{25} & S_{26} \\ S_{31} & S_{32} & S_{33} & S_{34} & S_{35} & S_{36} \\ S_{41} & S_{42} & S_{43} & S_{44} & S_{45} & S_{46} \\ S_{51} & S_{52} & S_{53} & S_{54} & S_{55} & S_{56} \\ S_{61} & S_{62} & S_{63} & S_{64} & S_{65} & S_{66} \end{bmatrix} \cdot \begin{bmatrix} \sigma_1 \\ \sigma_2 \\ \sigma_3 \\ \sigma_4 \\ \sigma_5 \\ \sigma_6 \end{bmatrix}. \quad (3.27)$$

Elastsuskoefitsentidest moodustatud matriksit $[C_{ij}]$ nimetatakse *jäikusmaatriksiks*¹⁰. Maatriksit $[S_{ij}] = [C_{ij}]^{-1}$ võib eesti keeles seega nimetada *pöördjäikusmaatriksiks*¹¹ või *paindlikusmaatriksiks* või *vetruvusmaatriksiks*.

¹⁰I. k. stiffness matrix

¹¹I. k. compliance matrix. Tehnikasõastikus on ingliseelise sõna *compliance* eestikeelseks vasteks pakutud ka vetrus.

3.5. Olekuvõrrandid

Kasutades niiüd tähistusi (3.24) ja (3.25) saavad valemid (3.23) kuju

$$\begin{bmatrix} \varepsilon_1 \\ \varepsilon_2 \\ \varepsilon_3 \\ \varepsilon_4 \\ \varepsilon_5 \\ \varepsilon_6 \end{bmatrix} = \begin{bmatrix} \frac{1}{E} & -\frac{\nu}{E} & -\frac{\nu}{E} & 0 & 0 & 0 \\ -\frac{\nu}{E} & \frac{1}{E} & -\frac{\nu}{E} & 0 & 0 & 0 \\ -\frac{\nu}{E} & -\frac{\nu}{E} & \frac{1}{E} & 0 & 0 & 0 \\ 0 & 0 & 0 & \frac{1}{G} & 0 & 0 \\ 0 & 0 & 0 & 0 & \frac{1}{G} & 0 \\ 0 & 0 & 0 & 0 & 0 & \frac{1}{G} \end{bmatrix} \cdot \begin{bmatrix} \sigma_1 \\ \sigma_2 \\ \sigma_3 \\ \sigma_4 \\ \sigma_5 \\ \sigma_6 \end{bmatrix}. \quad (3.28)$$

3.5.2 Hooke'i seadus ruumdeformatsiooni jaoks

Vastavalt üldistatud Hooke'i seadusele (3.23)

$$\underbrace{\varepsilon_x + \varepsilon_y + \varepsilon_z}_{=\theta} = \frac{(1-2\nu)}{E} \underbrace{(\sigma_x + \sigma_y + \sigma_z)}_{=I_1^\sigma} \quad (3.29)$$

Seega

$$\theta = \frac{(1-2\nu)I_1^\sigma}{E}. \quad (3.30)$$

Suurust $\theta = \varepsilon_x + \varepsilon_y + \varepsilon_z$ nimetatakse *ruumdeformatsiooniks* (vt. ka (3.16)) ja ta on ühtlasi ka deformatsioonitensori esimene invariant. Tuues sisse *ruumpaisumis mooduli* K ja keskmise pinge σ_0 ,

$$K = \frac{E}{3(1-2\nu)}, \quad \sigma_0 = \frac{\sigma_x + \sigma_y + \sigma_z}{3} = \frac{I_1^\sigma}{3}, \quad (3.31)$$

saame lineaarse seose keskmise pinge ja ruumdeformatsiooni vahel kujul

$$\sigma_0 = K\theta. \quad (3.32)$$

3.5. *Olekuvõrrandid*

3.5.3 Pingete avaldamine deformatsioonide kaudu

Liidame avaldise (3.23)₁ paremale poolele ja lahutame avaldise (3.23)₁ paremast poolest suuruse $\frac{1}{E}\nu\sigma_x$:

$$\varepsilon_x = \frac{1}{E} [\sigma_x + \nu\sigma_x - \nu\sigma_x - \nu(\sigma_y + \sigma_z)] = \frac{1}{E} [(1+\nu)\sigma_x - \nu I_1^\sigma]. \quad (3.33)$$

Avaldades (3.30)-st invariandi $I_1^\sigma = E\theta/(1-2\nu)$, saame

$$\varepsilon_x = \frac{(1+\nu)\sigma_x}{E} - \frac{\nu\theta}{(1-2\nu)}, \quad \text{kust} \quad \sigma_x = \frac{E\nu\theta}{(1+\nu)(1-2\nu)} + \frac{E\varepsilon_x}{1+\nu} \quad (3.34)$$

Tuues sisse *Lamé koefitsiendid*¹²

$$\lambda = \frac{E\nu}{(1+\nu)(1-2\nu)}, \quad \mu = \frac{E}{2(1+\nu)} = G, \quad (3.35)$$

saame valemist (3.34)₂ $\sigma_x = \lambda\theta + 2\mu\varepsilon_x$.

¹² Alternatiivne lineaarse teoria elastsuskonstantide paar.

Leides analoogilised avaldised σ_y ja σ_z jaoks ning avaldades seostest (3.23) nihkepinged, olemegi saanud *Hooke'i seaduse alternatiivse kuju*

$$\begin{cases} \sigma_x = \lambda\theta + 2\mu\varepsilon_x, & \tau_{xy} = \mu\gamma_{xy}, \\ \sigma_y = \lambda\theta + 2\mu\varepsilon_y, & \tau_{yz} = \mu\gamma_{yz}, \\ \sigma_z = \lambda\theta + 2\mu\varepsilon_z, & \tau_{zx} = \mu\gamma_{zx}. \end{cases} \quad (3.36)$$

Kasutades viimaseid valemeid leiate seose pingetensori ja deformatsioonisensori esimese invarianti vahel

$$\underbrace{\sigma_x + \sigma_y + \sigma_z}_{=I_1^\sigma} = 3\lambda\theta + 2\mu \underbrace{(\varepsilon_x + \varepsilon_y + \varepsilon_z)}_\theta, \quad \text{kust } I_1^\sigma = (3\lambda + 2\mu)\theta. \quad (3.37)$$

Kui tähistada keskmist normaaldeformatsiooni

$$\varepsilon_0 = \frac{\varepsilon_x + \varepsilon_y + \varepsilon_z}{3} = \frac{\theta}{3}, \quad (3.38)$$

siis saame seose keskmise pinge ja keskmise normaaldeformatsiooni vahel

$$\sigma_0 = (3\lambda + 2\mu)\varepsilon_0. \quad (3.39)$$

3.5. Olekuvõrrandid

3.5.4 Anisotroopsed kehad

Elmistes alajaotustes vaatlesime isotroopseid materjale ning seal oli pingete ja deformatsioonide vaheliste seoste kirjeldamiseks vaja vaid kahte sõltumatut elastsuskoefitsenti. Anisotroope keha puhul on elastsuskonstantide arv loomulikult suurem. Kuna anisotroopseid materjale on mitut liiki, siis tuleb vajalik elastsuskonstantide arv määratada iga liigi jaoks eraldi.

Ortotrooopsed materjalid, näiteks vineer, on üks sagedadmini esinevaid anisotroopse materjali liike. Sellisest materjalist kehade jaoks on võimalik määratada 3 omavahel ristuvat telge (peasununada), mille sihis rakendatud normaalpinged ei põhjusta telgedevaheliste nurkade muutumist. Ortotroopse materjali elastiused omadused ei muutu telgede pööramisel 180° vörra, kuid muutuvad iga teistsuguse pöörde korral. Ortotroopse materjali iseloomustamiseks on vaja üheksat elastsuskonstanti. Valemid (3.27) saavad selliste materjalide korral kuju

$$\begin{bmatrix} \varepsilon_1 \\ \varepsilon_2 \\ \varepsilon_3 \\ \varepsilon_4 \\ \varepsilon_5 \\ \varepsilon_6 \end{bmatrix} = \begin{bmatrix} S_{11} & S_{12} & S_{13} & 0 & 0 & 0 \\ S_{12} & S_{22} & S_{23} & 0 & 0 & 0 \\ S_{13} & S_{23} & S_{33} & 0 & 0 & 0 \\ 0 & 0 & 0 & S_{44} & 0 & 0 \\ 0 & 0 & 0 & 0 & S_{55} & 0 \\ 0 & 0 & 0 & 0 & 0 & S_{66} \end{bmatrix} \cdot \begin{bmatrix} \sigma_1 \\ \sigma_2 \\ \sigma_3 \\ \sigma_4 \\ \sigma_5 \\ \sigma_6 \end{bmatrix}, \quad (3.40)$$

kus

$$\begin{aligned} S_{11} &= \frac{1}{E_1}, & S_{22} &= \frac{1}{E_2}, & S_{33} &= \frac{1}{E_3}, \\ S_{12} &= -\frac{\nu_{12}}{E_1}, & S_{13} &= -\frac{\nu_{13}}{E_1}, & S_{23} &= -\frac{\nu_{23}}{E_2}, \\ S_{55} &= \frac{1}{G_{23}}, & S_{44} &= \frac{1}{G_{13}}, & S_{66} &= \frac{1}{G_{12}}. \end{aligned} \quad (3.41)$$

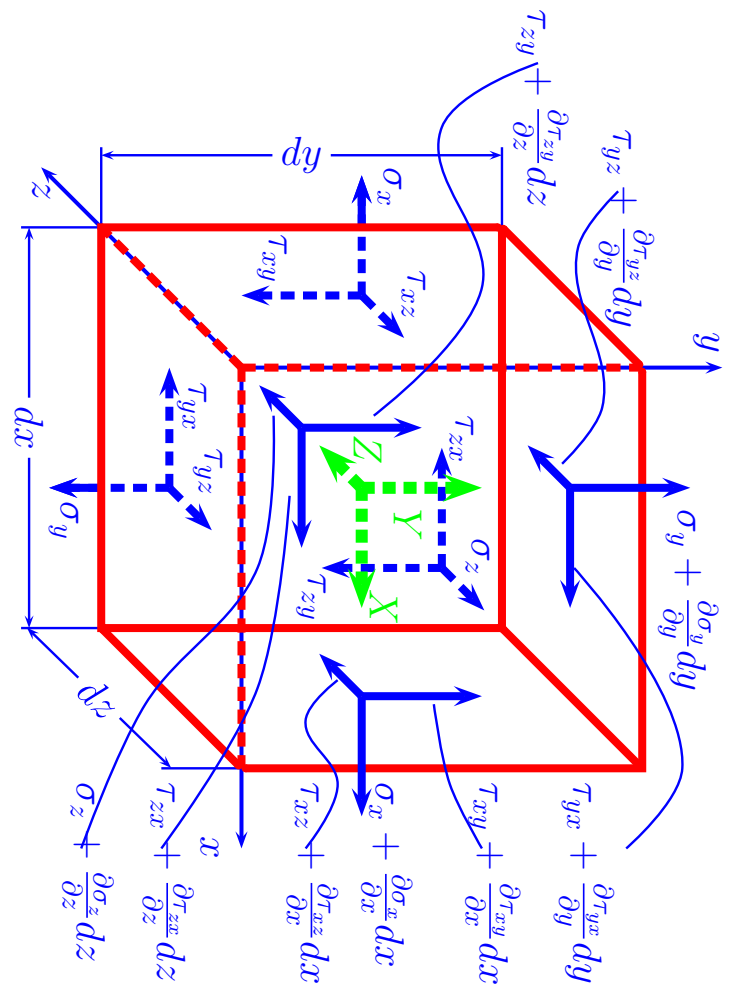
Konstandid $E_1, E_2, E_3, \nu_{12}, \nu_{13}, \nu_{23}, G_{12}, G_{13}$ ja G_{23} on vastavalt Youngi moodlid, Poissoni tegurid ja nihkeelastsusmoodulid peatelgedega 1, 2, 3 määratud sihtides¹³.

¹³Vt. lisaks J. N. Reddy, Theory and Analysis of Elastic Plates, Philadelphia, Taylor & Francis, 1999 §1.4.6

3.6 Deformatsiooni potentsiaalne energia

Vaatleme lõpmata väikest risttahukat (joon. 3.5). Nagu on jooniselt näha, ei eelda me antud juhul enam homogeenset pingust. Arvestame aga klassikalise elastsusteooria eeldusi ja hüpoteese, mille kohasel on materjal ideaalselt elanen, deformatsionid on väikesed ja kehtib superpositsiooni printsip. Eesmärgiks on leida *deformatsiooni potentsiaalne energia*, mis kehas on salvestunud. Selleks tuleb kõigepealt leida töö, mida tehakse deformatsiooni muutumisel (suurene-misel) elementaarristtahukas.

- Vaatleme tahke, mis on risti x teljega. Feldame, et normaalpingete toimel suureneb deformatsioon $d\varepsilon_x$ ja takkude vaheline kaugus $d\varepsilon_x dx$ võrra.
 - Vastav elastsusjõu elementaartöö (hülijates kõrgemat jätku väikesed suurused): $\sigma_x dy dz d\varepsilon_x dx$.



Joonis 3.5: Elementaarristtahukas

3.6. Deformatsiooni potentsiaalne energia

3 - 34

- Vaatleme tahke, mis on risti x teljega ja tahke, mis on risti y teljega. Eeldame, et nihkepingete toimel muutub nurk x ja y telje vahel väikese suuruse $d\gamma_{xy}$ võrra.
- Vastav elastsusjõu elementaartöö (hülijates kõrgemat järgku väikesed suurused): $\tau_{xy}dydzd\gamma_{xy}dx$.
- Analoogiliselt saab leida pingetele σ_y , σ_z , τ_{yz} ja τ_{xz} vastavad töod.

Rakendame superpositsiooni printsipi ja saame summaarse elementaartöö $dA^* = (\sigma_x d\varepsilon_x + \sigma_y d\varepsilon_y + \sigma_z d\varepsilon_z + \tau_{xy} d\gamma_{xy} + \tau_{yz} d\gamma_{yz} + \tau_{xz} d\gamma_{xz}) dx dy dz$. (3.42)

Jagades viimase elementaarruumalaga $dV = dx dy dz$, saame **elementaartöö tiheduse** $dA = dA^*/dV$. Kuna eelduse põhjal on material ideaalselt elastne, siis on tehtud töö tõttu suurendatud elementaarristahuka potentsiaalset energiat $dW^* = dA^*$ võrra ning potentsiaalse energia tihedus suureneb $dW = dW^*/dV$ võrra.

†

Edaspidi vaatleme seega suurust dW , st. potentsiaalse energiа juurdekasvu ühikruumala kohta:

$$dW = \sigma_x d\varepsilon_x + \sigma_y d\varepsilon_y + \sigma_z d\varepsilon_z + \tau_{xy} d\gamma_{xy} + \tau_{yz} d\gamma_{yz} + \tau_{zx} d\gamma_{xz}. \quad (3.43)$$

Asendame saadud avaldisse pinged σ_x, \dots üldistatud Hooke'i seadusest (3.36) ja saame

$$\begin{aligned} dW &= (\lambda\theta + 2\mu\varepsilon_x) d\varepsilon_x + (\lambda\theta + 2\mu\varepsilon_y) d\varepsilon_y + (\lambda\theta + 2\mu\varepsilon_z) d\varepsilon_z + \\ &\quad + \mu\gamma_{xy} d\gamma_{xy} + \mu\gamma_{yz} d\gamma_{yz} + \mu\gamma_{zx} d\gamma_{zx} = \\ &= \lambda\theta d\theta + 2\mu(\varepsilon_x d\varepsilon_x + \varepsilon_y d\varepsilon_y + \varepsilon_z d\varepsilon_z) + \\ &\quad + \mu(\gamma_{xy} d\gamma_{xy} + \gamma_{yz} d\gamma_{yz} + \gamma_{zx} d\gamma_{zx}). \end{aligned} \quad (3.44)$$

Viimast avaldist integreerides leidame potentsiaalse energiа tiheduse sõltuvana deformatsioonidest

$$W = \frac{1}{2} [\lambda\theta^2 + 2\mu(\varepsilon_x^2 + \varepsilon_y^2 + \varepsilon_z^2) + \mu(\gamma_{xy}^2 + \gamma_{yz}^2 + \gamma_{zx}^2)]. \quad (3.45)$$

Kuna Lamé koefitsiendid (3.35) on positiivsed, siis peab ka potentsiaalne energiа olema positiivne (või null) igas ideaalselt elastse keha punktis.

3.6. Deformatsiooni potentsiaalne energia

Kasutades taas Hooke'i seadust kujul (3.36) saame viimasest *Clapeyroni valemi* ‡

$$W = \frac{1}{2} (\sigma_x \varepsilon_x + \sigma_y \varepsilon_y + \sigma_z \varepsilon_z + \tau_{xy} \gamma_{xy} + \tau_{yz} \gamma_{yz} + \tau_{zx} \gamma_{zx}). \quad (3.46)$$

Viimastest saab omakorda avaldada W läbi pingete ja elastsuskonstantide E ja ν kui kasutada Hooke'i seadust kujul (3.23)

$$W = \frac{1}{2E} [\sigma_x^2 + \sigma_y^2 + \sigma_z^2 - 2\nu(\sigma_x \sigma_y + \sigma_y \sigma_z + \sigma_x \sigma_z) + 2(1 + \nu)(\tau_{xy}^2 + \tau_{yz}^2 + \tau_{zx}^2)]. \quad (3.47)$$

Kuna W on potentsiaalne energiа, siis peab avaldis (3.43) olema funktsiooni W täisdifferentsiaal, mis omakorda tähendab, et

$$\left\{ \begin{array}{l} \sigma_x = \frac{\partial W}{\partial \varepsilon_x}, \quad \sigma_y = \frac{\partial W}{\partial \varepsilon_y}, \quad \sigma_z = \frac{\partial W}{\partial \varepsilon_z}, \\ \tau_{xy} = \frac{\partial W}{\partial \gamma_{xy}}, \quad \tau_{yz} = \frac{\partial W}{\partial \gamma_{yz}}, \quad \tau_{zx} = \frac{\partial W}{\partial \gamma_{zx}}. \end{array} \right. \quad (3.48)$$

Viimased avaldised on tuntud *Castigliano valemitenä*.

Feltoodu kontrolliks leame avaldistest (3.45) osatuletised

$$\begin{cases} \frac{\partial W}{\partial \varepsilon_x} = \lambda\theta + 2\mu\varepsilon_x = \sigma_x, \\ \frac{\partial W}{\partial \gamma_{xy}} = \mu\gamma_{xy} = \tau_{xy}, \dots \end{cases} \quad (3.49)$$

Et leida kehas salvestunud summaarne potentsiaalne energia \mathcal{W} tuleb potentiaalse energi tihedust integreerida üle kogu keha ruumala V , st.

$$\mathcal{W} = \int_V W dV = \iiint_V W dx dy dz. \quad (3.50)$$

Rakendes Clapeyroni valemit avaldub summaarne potentsiaalne energia kujul

$$\mathcal{W} = \frac{1}{2} \iiint_V (\sigma_x \varepsilon_x + \sigma_y \varepsilon_y + \sigma_z \varepsilon_z + \tau_{xy} \gamma_{xy} + \tau_{yz} \gamma_{yz} + \tau_{zx} \gamma_{zx}) dx dy dz. \quad (3.51)$$